

## Экология. Химия. Природные ресурсы

А.В. Мельников, В.А. Степанов, В.Д. Мельников

### ПЕРСПЕКТИВЫ ЧАГОЯНСКОГО РУДНОГО УЗЛА НА ЗОЛОТОЕ ОРУДЕНЕНИЕ КАРЛИНСКОГО ТИПА

*The Chagovsky ore knot is located in the Amur region Russia. It is dated for an intruzivno-dome raising in a northeast part of Keruleno-Arguno-Mamynskogo of a composit file which is combined multiphase granitoid intrusion Paleosoic and the bottom chalk, with relic the roof executed carbonatic and terrigenno-sedimentary breeds early paleopaleosoic. As the basic mineralization control knot structures the Chagovsky anticline broken by a series of radial and concentric breaks on a number sink and lifted blocks acts. Are revealed ore mineralization gold beresitic, jasperoidic, quartzitic-propulitic, skarnic and quartz-polevoshpatovuyh metasomatite formations. The most perspective is jasperoidic the formation (Karlin type). In knot territory the big group ore mineralization gold Karlin type and a number of sites of distribution carbonatic the formations which earlier have been not studied on this type gold ore is known.*

Месторождения карлинского, невадийского или золотортутного типа, отличающиеся тонким рассеянным золотом и устойчивой геохимической ассоциацией Au-Hg-As-Sb-Tl, успешно эксплуатируются за рубежом (США, Канада, Китай) и в нашей стране (Куранах, Воронцовское, Олимпиадинское). Поэтому интерес к выявлению новых объектов такого типа достаточно велик [1, 2, 9]. В конце прошлого века одним из авторов статьи произведена оценка Приамурской золотоносной провинции на оруденение золотортутного, в том числе и карлинского типа [7]. К одному из перспективных на выявление месторождений карлинского типа был отнесен Чагоянский рудный узел.

#### Положение рудного узла в региональных структурах, геофизических и геохимических полях

Чагоянский рудный узел расположен в южной части Приамурской золотоносной провинции и входит в состав Чагоян-Быссинской золотополиметаллической металлогенической зоны. В пределах узла находятся Чагоянское свинцово-цинковое месторождение, рудопроявления свинца, цинка и железа, многочисленные рудопроявления и точки минерализации, а также россыпи золота [3]. Узлу отвечает полихронное интрузивно-купольное поднятие в северо-восточной части Керулено-Аргунно-Мамынского композитного массива [3] (рис. 1). Оно выполнено крупными многофазными гранитоидными интрузиями среднегопозднего палеозоя (массивы Малочуканский и Дымо) и нижнего мела (массивы Джурканский, Шахтаминский и Усть-Туйский). В центральной его части отмечается останец кровли, сложенный карбонатными и терригеническими породами раннего палеозоя, которые смяты в крупную антиклинальную складку меридиональной ориентировки.

Узел дешифрируется на аэро- и космических снимках, а также отчетливо фиксируется в гравиметрическом, магнитном и геохимических полях. В рельфе он выражен в виде положительной морфоструктуры центрального типа. Узел ограничен серией прерывистых концентрических разломов, а с востока – нарушением северо-западного простирания. Хорошо проявлены радиальные и внутренние концентрические разломы. По геохимическим данным, в пределах рудного узла выявлены многочисленные высококонтрастные потоки рассеяния золота, серебра,

цинка, свинца, меди, вольфрама, молибдена, реже – висмута, кобальта и никеля.

#### Геологическое строение рудного узла

В геологическом строении принимают участие стратифицированные и магматические образования широкого возраста диапазона от позднего протерозоя до кайнозоя (рис. 1).

Верхнепротерозойско-палеозойские образования распространены в центральной части узла. Они представлены венд-кембрийскими грубополосчатыми мраморизованными известняками, доломитами и доломитизированными известняками с линзами темно-серых кремней, кремнисто-углистых сланцев и алевролитов, а также силурийскими кварцитовидными аркозовыми песчаниками. Менее развиты девонские алеврито-песчано-карбонатные отложения. Мощность венд-кембрийских, силурийских и девонских отложений соответственно 4,2, 4,4 и 1,6 км.

Юрские отложения, обнаженные к северо-востоку от границ узла, сложены морскими и пресноводно-континентальными терригенными (конгломераты, гравелиты) и угленосными породами десской свиты, выполняющими Амуро-Зейский прогиб. Эти осадки с угловым несогласием перекрывают более древние складчатые структуры. Мощность юрских образований не менее 350 м.

Нижнемеловые образования андезито-риолитовой формации установлены в северной части узла. Вулканитам комагматичны субвулканические интрузии аналогичного состава. Мощность вулканитов 700 м.

Неогеновые и четвертичные образования представлены осадочными отложениями сазанковской и белогорской свит, в состав которых преобладают галечники, кварцевые и аркозовые пески. В низах разреза они содержат значительную примесь каолинита, линзы и прослои каолиновых глин и углей, указывающих на связь отложений с корами выветривания. Мощность осадков сазанковской свиты – 30 м, белогорской свиты – 90 м.

Четвертичные отложения сложены аллювиальными и озерно-аллювиальными, элювиально-делювиальными, пролювиально-озерными и озерно-болотными осадками мощностью до 30 м.

#### Магматизм

Интрузивные породы занимают около половины площади интрузивно-купольного поднятия. Среди них выделяются раннепалеозойские, среднепозднепалеозойские и раннемеловые интрузии. Возраст их определяется на основании взаимоотношений со стратифицированными образованиями, анализов абсолютного возраста и сопоставления с аналогичными образованиями на сопредельных территориях.

Раннепалеозойские интрузии представлены габбро и габбро-диоритами. Выходы их известны в южной части узла, где габброиды слагают небольшой массив, площадью 0,5 кв. км. Габброиды содержат прожилки и вкрапленность титаномагнетита и ильменита (до 8-10%). Абсолютный возраст (K-Ar метод) – 455-475 млн. лет.

Широко распространены среднепозднепалеозойские интрузии, сложенные биотитовыми, биотит-роговообманковыми гранитами (Малочуканский массив); гранодиоритами, кварцевыми диоритами и диоритами (массив Дымо). Биотитовые и биотит-роговообманковые граниты интенсивно катаклизированы. Гранодиориты и кварцевые

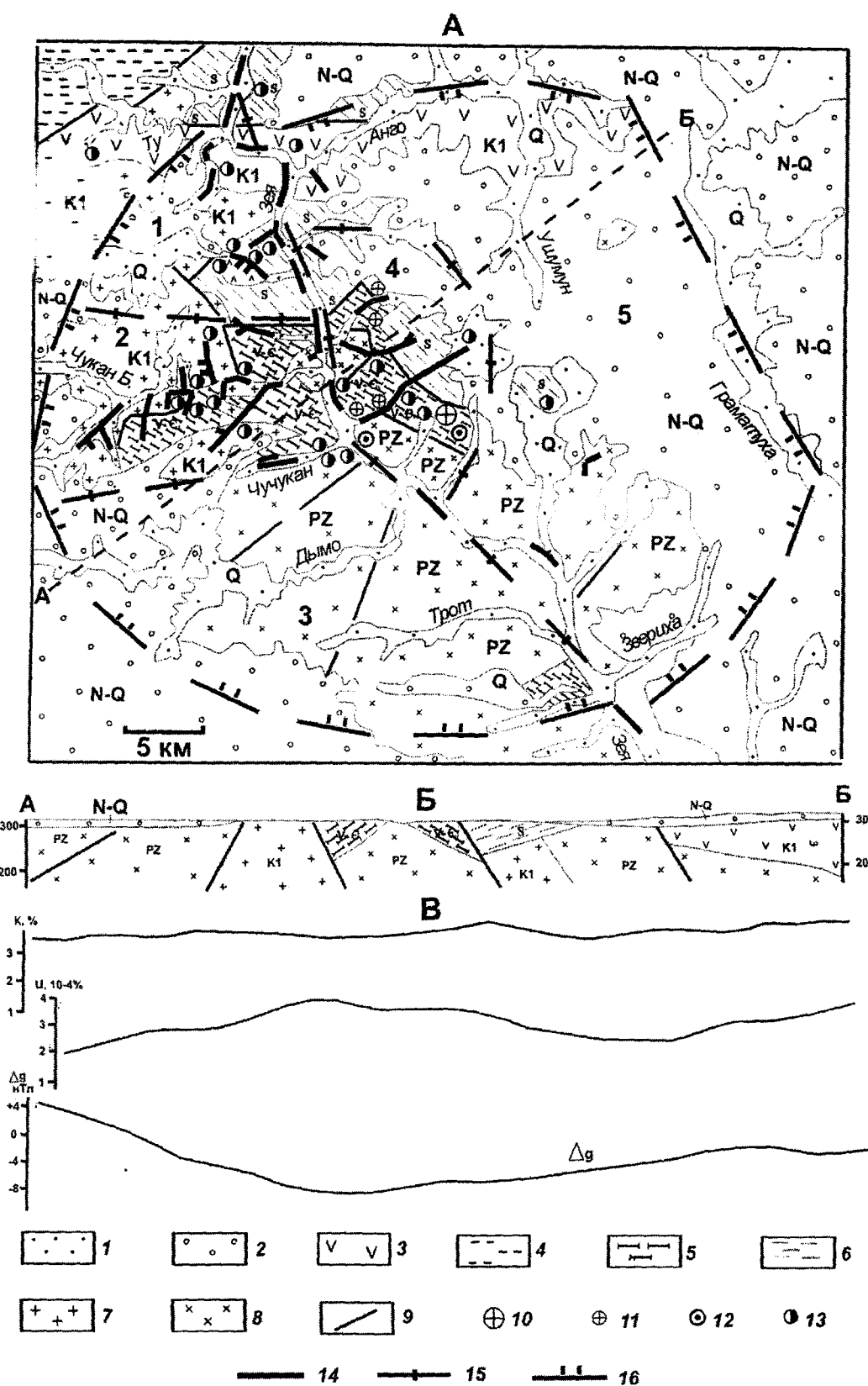


Рис. 1. Чагоянский рудный узел

(А – план, Б – геологический разрез по линии АБ, В – геофизические разрезы):

1 – современные аллювиальные осадки: валуны, галечник, гравий, пески; 2 – неоген-четвертичные отложения белогорской и чеганковской свит (глина, песок, гравелиты); 3 – вулканиты раннего мела; 4 – юрские терригенные образования (конгломераты, аргиллиты, песчаники, гравелиты); 5 – силурийские образования норской серии (песчаники, алевролиты, аргиллиты); 6 – венден-сембрейские породы чагоянской свиты (мраморизованные известняки, доломиты, кремни); 7 – граниты раннего мела; 8 – диориты, гранодиориты, кварцевые диориты среднегопозднего палеозоя; 9 – разрывные нарушения; 10 – Чагоянское свинцово-цинковое месторождение; 11–13 – рудопроявления: 11 – полиметаллов, 12 – железа, 13 – золота; 14 – россыпи золота; 15 – границы зондовых полей и их номера: 1 – Малочуканское, 2 – Большечуканское, 3 – Чучуканское, 4 – Джуркан-Чагоянское, 5 – Ангоскольское; 16 – границы Чагоянского рудного узла

диориты характеризуются полосчатой текстурой. Породы имеют характерную зеленую окраску различных оттенков; отмечаются средне- и крупнозернистые, реже – мелкозернистые породы. Абсолютный возраст (K-Ar метод) – 246–283 млн. лет.

Раннемеловые интрузии наиболее широко развиты в северной части узла. Они представлены гранитами, гранодиоритами, адамеллитами и кварцевыми диоритами (массивы Джурканский, Усть-Туйский, Владимировский, Дагаглинский и Шахтаминский). Внедрение их происходило по разломам северо-восточного и субширотного направления. Контакты раннемеловых интрузий с вмещающими породами обычно четкие и резкие. Абсолютный возраст (K-Ar метод) – 123–128 млн. лет.

#### Тектоника

На территории узла выделены 4 структурно-формационных комплекса, или структурных яруса, которые соответствуют этапам развития территории и помогают понять особенности становления этой интрузивно-купольной структуры: верхнепротерозойский-палеозойский, юрский, меловой и неоген-четвертичный.

Важным элементом Чагоянского интрузивно-купольного поднятия является система концентрических, радиальных и диагональных разломов, разделяющая его на ряд секторных и сегментных блоков. Наблюдается чередование относительно поднятых и опущенных блоков. Разрывные нарушения по времени заложения и направлению делятся на три группы. К первой относится Сиваглинский надвиг широтного направления, контролирующий мощными зонами милонитизированных и перекристаллизованных пород шириной до 500 м и протяженностью до первых десятков километров. Во вторую входит Чагоянский надвиг северо-западного направления, трассирующий зонами катаклаза, дробления на протяжении более 10 км. К третьей относятся разломы северо-восточного простирания, наиболее широко распространенные и фиксирующиеся во всех структурных ярусах (Бурматовский, Малочуканский, Бурельный, Ангинский разломы). Эти нарушения представлены зонами катаклазированных и брекчированных пород, мощность которых измеряется десятками, реже сотнями метров. К ним приурочены многочисленные дайки диоритовых порфиритов и гранодиорит-порфиров раннего мела.

В качестве основной рудоконтролирующей структуры узла выступает Чагоянская антиклиналь, разбитая серией радиальных и концентрических разломов на ряд опущенных и поднятых блоков. В ядре ее развиты венд-кембрийские карбонатные толщи чагоянской свиты (известняки, мраморизованные известняки, доломиты), а на крыльях – силурийские и девонские терригенные образования (песчаники, гравелиты, алевролиты), что определяет благоприятную обстановку для локализации оруденения в структурах экранирования.

#### Закономерности размещения золотого оруденения и россыпей золота

На территории рудного узла выявлено разноформационное оруденение. Здесь располагаются Чагоянское золотополиметаллическое месторождение, рудопроявления полиметаллов (Стрелка, Джурканское и др.), рудопроявления и точки минерализации золота (Малочуканское, Малютка, Прима, Советское, Грозное и др.), железа, марганца, меди. Кроме того, известны многочисленные промышленные россыпи золота.

Чагоянское месторождение расположено в узле пересечения трех крупных разломов – Чагоянского, Бурматовского, Овсяниковского. Вмещающие породы месторождения интенсивно окварцовываны, доломитизированы и карбонатизированы. Рудоносна пачка аркозовых песча-

ников, подстилающая доломитизированные известняки. Выделяются три рудные зоны мощностью 10–50 м. Сульфидная минерализация представлена сфалеритом, галенитом, пиритом, пирротином и халькопиритом. Содержание свинца – 1.09–2.52%, цинка – 0.37–3.4%, кадмия – до 1%. В окисленных переотложенных рудах содержание свинца и цинка в сумме достигает 25%. Запасы категории C<sub>2</sub> полиметаллических руд составляют 500 тыс.т, прогнозные ресурсы свинца и цинка – 1500 тыс.т. Рекомендуется дооценка флангов месторождения. В полиметаллических рудах месторождения содержание золота достигает 0.8 г/т. На юго-западном фланге рудного поля в верхней части коры выветривания на глубинах 24–32 м установлено содержание золота в количествах 6–9 г/т (максимальное – 124 г/т) и серебра 20–3000 г/т. В схеме минералообразования золото относится к последней стадии. Подсчитанные прогнозные ресурсы золота категориям P<sub>2</sub> – 2.6 т, P<sub>3</sub> – 31 т.

Согласно классификации В.Д. Мельникова [6] и Д.В. Рундквиста [7] проявления золота Чагоянского узла можно отнести к следующим золоторудным формациям: джаспероидной, березитовой, скарновой, кварц-полевошпатовых метасоматитов и кварцит-пропилитовой (таблица).

Рудопроявления *джаспероидной формации* установлены в поле развития венд-кембрийских карбонатных пород нижнечагоянской подсвиты в бассейнах ручьев Кривоносовского, Грозного, в междуречье Банкевич-Зеленовский (правых и левых притоков р. Бол. Чукан), на левобережье р. Зеи в верховьях руч. Чагоян и Бурельный. Они приурочены к надвиговым структурам. Джаспероиды залегают в виде стратифицированных минерализованных зон и линз мощностью до 10–30 м. Протяженность тел джаспероидов колеблется от 100 до 800 м. Контакты их с вмещающими доломитами секущие. Джаспероиды представляют собой кавернозные буроватые породы, состоящие из халцедоновидного кварца и карбонатов. По данным пробирного анализа, джаспероиды содержат золото: на рудопроявлении Банкевич – 1,6–2,4 г/т, на Кривоносовском – 0,33–2,7 г/т. Структурная позиция и вещественный состав золотого оруденения в джаспероидах Чагоянского узла позволяют отнести его к карлинскому типу. Поскольку площади развития золотоносных джаспероидов сопровождаются промышленными россыпями золота, то перспективы выявления месторождений золота карлинского типа достаточно высоки.

*Березитовая формация* объединяет группу золоторудных рудопроявлений и точек минерализации, выявленных в бассейнах руч. Малютка, Мал. Чукан и Сивагли. Здесь установлены мощные зоны березитизации и аргиллизации по габбро-диоритам, диоритовым порфиритам раннего мела и вмещающим их терригенным породам силура. Рудопроявления представлены ассоциацией кварцевых, кварц-сульфидных и реже сульфидно-кварц-карбонатных жил и сопряженных с ними березитизированных, серicitизированных и окварцованных пород. Оруденение локализуется как внутри раннемеловых интрузий и даек (рудопроявления Малочуканское, Прима), так и в экзоконтактовых частях (рудопроявления Малютка, Гавриловское и Ксеньевское) среди силурийских терригенных пород. Большинство кварцевых жил имеет брекчевую структуру. Мощность их 0,2–4 м. Содержание золота в кварце, по данным пробирного анализа, достигает 25,9 г/т (Малочуканское рудопроявление).

*Скарновая формация* объединяет выявленные на право- и левобережье Зеи рудопроявления Архаринское, Контаковое, Овсяниковское, Бурельное, Чучуан и Чупуряги. Они локализованы на контакте палеозойских гранитоидов (массив Дымо) с венд-кембрийскими карбонатными отложениями. Руды представлены гранатовыми, реже гранат-пироксеновыми скарнами, образующими изометрические и линзовидные тела мощностью от 0,5 до 2 м. Это плотные, массивные породы серого и темно-се-

**Классификация золоторудных и золотосодержащих месторождений и рудопроявлений Чагоянского рудного узла**

Золоторудные формации	Морфологические типы	Рудовмещающие формации	Рудоносные интрузии	Рудоконтролирующие структуры	Минеральные типы руд	Основные рудные минералы	Проба золота	Месторождения, рудопроявления
Джаспероидная	Кварцево-прожилковые и джаспероидные зоны	Карбонатная	Отсутствуют	Надвиги субширотного и СВ направления	Золото-сульфидный	Золото, пирит, галенит	800-990	Банкевич, Кроноусовское, Верхнечагоянское
Березитовая	Свиты жил	Терригенная	Раннемеловые интрузии, дайки умеренно-кислого и среднего составов	Пересечение СЗ и субширотных разломов	Золото-пирит-арсенопиритовый	Золото, пирит, галенит, арсенопирит сфалерит, халькопирит	800-900	Малочуканско Грозное Малютка
	Минерализованные зоны дробления	Терригенная			Золото-пиритовый	Золото, пирит, галенит, сфалерит, арсенопирит	800-850	Малочуканско Неожиданое Прима
	Зоны гидротермально измененных пород; свиты кварцевых жил и прожилков	Диорит-гранодиортовая			Золото-пиритовый	Золото, элек-трум, арсенопирит, галенит, пирит, сфалерит, пирротин	700-800	Волчья Яма, Ксеньевское Гавриловское
Кварц-полевошпатовых метасоматитов	Зоны кварц-полевошпатовых метасоматитов	Терригенно-карбонатная	Отсутствуют	Замковые части лежачих и опрокинутых складок	Золото-сульфидный	Золото, пирит, халькопирит	800-900	Советское, Глотовское, Кузьминское
Скарновая	Зоны скарнирования с наложенным окварцеванием	Карбонатно-терригенная	Палеозойские интрузии умеренно кислого состава	Зоны контакта известняков с палеозойскими гранитоидами	Золото-полисульфидный	Золото, пирит, галенит, халькопирит, молибденит,	850-900	Овсянниковское Чучукан, Чупургали, Архаринское Контактовое
Кварцит-пропилитовая	Окварцованные зоны дробления и кварцевые жилы	Анdezит-риолитовая	Раннемеловые субвуулканические интрузии	Разрывы СВ направления	Золото-аргентитовый, золото-антимонитовый	Золото, аргентит, антимонит, пирит, галенит	680-750	Анго, Етуш, Усть-Ту-1,2, Водорадельное, Кунхагли

рого цвета с зеленоватым оттенком, в которых заметна вкрапленность пирита, галенита, сфалерита, халькопирита и асренопириита. На рудопроявлении Овсянниковское, по данным пробирного анализа, содержание золота составляет 1,8-4,8 г/т.

Рудопроявления *формации кварц-полевошпатовых метасоматитов* известны в бассейне среднего течения р. Бол. Чукан (Советское, Глотовское, Кузьминское). Рудные тела представляют собой седловидные залежи кварц-полевошпатовых метасоматитов. Они локализованы, главным образом, в замковых частях лежачих и опрокинутых складок среди катаклизированных терригенно-карбонатных образований. Мощность их до 80 м. По данным атомно-абсорбционного анализа, на рудопроявлении Советском содержание золота в метасоматитах составляет 3,0-25,8 г/т; на Глотовском – 2,8-28,8 г/т. Спектральным анализом установлены следующие элементы-примеси (в %): молибден – 0,0001, медь – 0,002-0,006, свинец – 0,001-0,004, мышьяк – до 0,006, серебро – до 0,3-0,4 г/т.

*Кварцит-пропилитовая формация* представлена золоторудными проявлениями Анго, Елтушевское, Усть-Ту-1,2. Они приурочены к Калашниковскому полю нижнемеловых вулканитов. Золотое оруденение штокверкового типа локализовано в небольших (порядка первых десятков метров) зонах пропилитизированных, окварцованных и аргилизированных вулканитов. Гидротермально измененные породы пронизаны разноориентированными прожилками кварца мощностью до 0,5-1 см. Содержание сульфидов (пирита) обычно не более 1-2%. В отдельных пробах колломорфного полосчатого кварца наблюдалась тонко-рассеянная вкрапленность игольчатого антимонита. По данным атомно-абсорбционного анализа, в штуфных пробах отмечается повышенное содержание золота (до 3,7 г/т).

Наблюдается определенная зональность в размещении оруденения. К ядру интрузивно-купольного поднятия приурочены полиметаллическое, золотое оруденение джаспероидного типа и кварц-полевошпатовых метасоматитов, а к периферии – золотое оруденение березитового и скарнового типов. На северном фланге узла развито золотосеребряное оруденение кварцит-пропилитового типа.

Коренные и россыпные проявления золота концентрируются в пределах нескольких пространственно разобщенных участков, выделяющихся на фоне рассеянной золотоносности узла. Они выделены в качестве потенциальных рудных полей. Последние представляют собой секторные или сегментные блоки интрузивно-купольного поднятия, ограниченные радиальными и концентрическими разломами (Малочуканское, Большечуканское, Чучканское, Джуркан-Чагоянское и Анго-Букольское). Рудные тела имеют ряд специфических геологического-структурных особенностей, различны по масштабам и формационным типам проявлений золота.

#### Этапы формирования оруденения

В Чагоянском рудном узле развиты разновозрастное золотое и свинцово-цинковое оруденение, а также россыпные месторождения золота. Выделяются три этапа формирования оруденения: раннепалеозойский, средневерхнепалеозойский и мезозойский [5] (рис. 2).

В раннем палеозое накапливались карбонатно-терригенные толщи (известняки, доломиты, песчаники, алевролиты) в прибрежно-морских условиях. С внедрением габбро-диоритовых интрузий связано формирование золотоносных титаномагнетитовых руд (рудопроявление Овсянниковское). Примесь золота отмечается в количестве до 4,8 г/т в секущих рудах кварцевых прожилках.

В средне-верхнем палеозое происходит интенсивное накопление терригенно-карбонатных образований (песчаники, алевролиты, гравелиты, известняки). С этим этапом связано формирование Чагоянской антиклинали и внедрение интрузий гранитоидов (массивы Дымо и Малочукан-

ский). К завершающей стадии этапа приурочено золотое оруденение скарнового типа, локализованное на контакте гранитоидных массивов с терригенно-карбонатными толщами. В это время были сформированы золотоскарновые рудопроявления Архаринское, Бурельное, Контактовое, Чучкан, Чупуралги.

В мезозойский этап формируются впадины, выполненные терригенными и вулканогенными формациями. В раннем мелу интенсивно проявился интрузивныймагматизм, с которым связано золотое оруденение березитовой формации. Оруденение тяготеет к узлам пересечения разрывов субширотного и северо-восточного направлений. Оно локализовано в зонах трещиноватости преимущественно северо-восточного направления, контролируемыми дайками пород умеренно-кислого и среднего состава (рудопроявления Малочуканское, Прима, Неожиданное и др.). Золотокварцевые жилы представляют интерес как источник поступления золота в россыпи.

К более поздней стадии приурочено золотое оруденение кварцит-пропилитовой формации, связанное с вулканитами андезито-риолитового состава. Оруденение представлено зонами пропилитизированных вулканитов, среди которых развиты адуляр-кварцевые жилы и жильно-прожилковые зоны с убогосульфидным золотосеребряным оруденением (рудопроявления Елтуш, Водораздельное, Кунхагли, Анго, Усть-Ту-1,2). Золотое оруденение приурочено к узлам пересечения разломов субширотного, северо-западного и северо-восточного направлений. Рудовмещающими являются зоны разрывных структур указанных направлений.

К этому же этапу нами отнесено формирование золотого оруденения джаспероидной формации и формации кварц-полевошпатовых метасоматитов. Рудопроявления джаспероидной формации представлены зонами минерализованных джаспероидов среди венд-кембрийских карбонатных толщ (рудопроявления Кривоносовское, Баневич, Верхнечагоянское, Зейское, Сухарниковское). Они представляют значительный поисковый интерес как представители золотого оруденения перспективного карлинского типа.

К мезозойскому этапу относится и формирование свинцово-цинковых руд Чагоянского месторождения, локализованных на контакте венд-кембрийских карбонатных и силурийских терригенно-осадочных образований и прорванных дайками диоритовых порфиридов раннего мела.

#### Заключение

В результате изучения закономерностей размещения золотого оруденения в Чагоянском рудном узле установлено следующее:

1) рудному узлу с золотополиметаллической специализацией отвечает интрузивно-купольное поднятие центрального типа, образованное многофазными гранитными интрузиями палеозойского и мезозойского возраста с останцом кровли, сложенным карбонатными и терригенными породами верхнепротерозойского-палеозойского возраста. Интрузивно-купольное поднятие выражено в рельфе, в геофизических и geoхимических полях. Для золоторудных и полиметаллических объектов узла характерен единый типоморфный комплекс элементов, включающий Au, Ag, Pb, Zn, Cu, Bi, W, Mo;

2) в качестве основной рудоконтролирующей структуры выступает Чагоянская антиклиналь, разбитая серией радиальных и концентрических разломов на ряд опущенных и поднятых блоков. В ядре ее преимущественно развиты рудоносные карбонатные толщи, а на крыльях – терригенные и вулканогенные образования, что определяет благоприятную обстановку для локализации золотого оруденения в структурах экранирования;

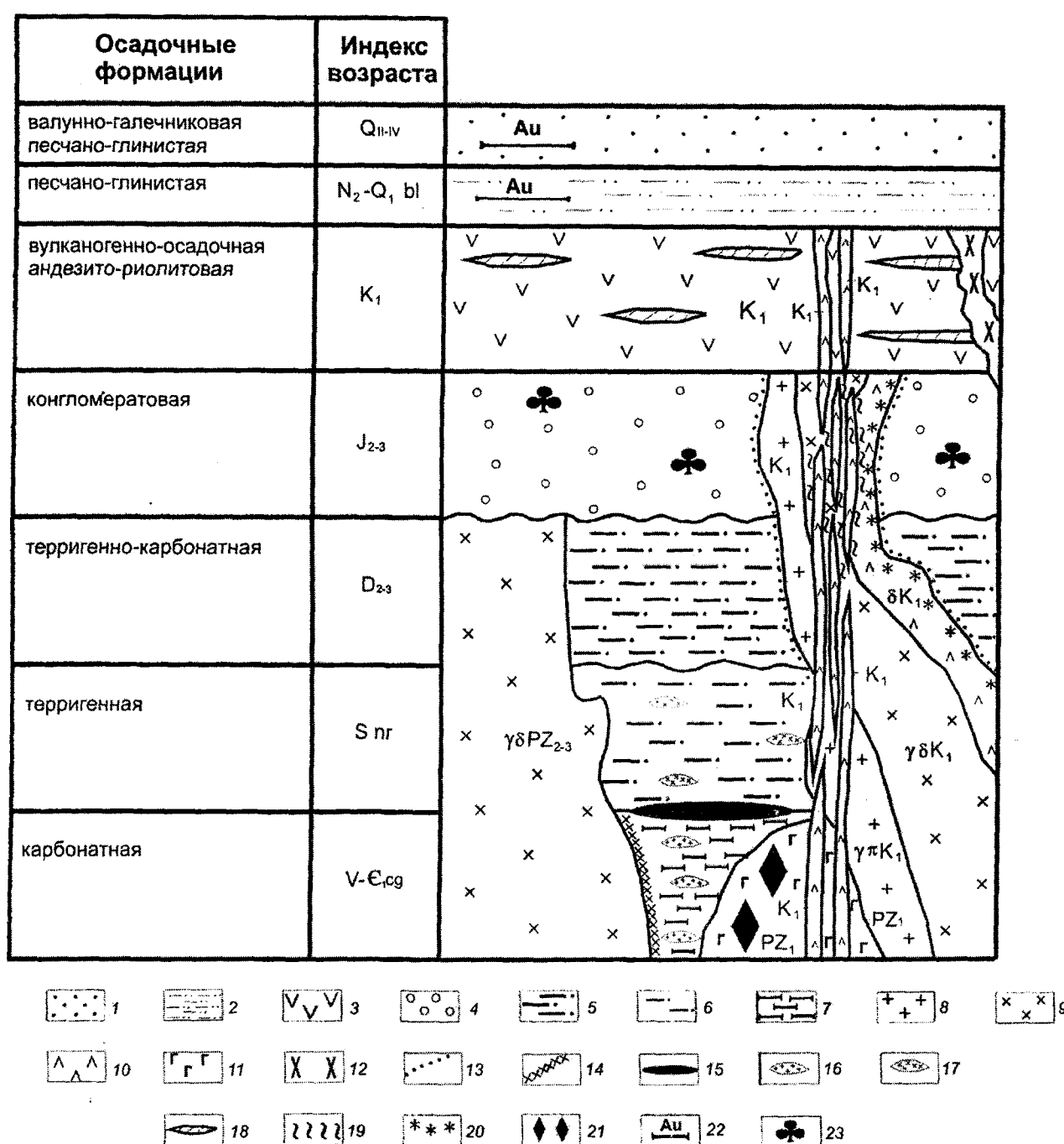


Рис. 2. Металлогенограмма:  
 1-7 – осадочные формации: 1 – валунно-галечная, песчано-глинисто-гравийная, 2 – песчано-глинистая, 3 – вулканогенно-осадочная андезито-риолитовая, 4 – конгломератовая, 5 – терригенно-карбонатная, 6 – терригенная, 7 – карбонатная; 8-12 – интрузии: 8 - граниты, 9 – гранодиориты, 10 – диориты, 11 – габбро, 12 – гранодиорито-порфирь; 13 – контактовые роговики; 14 – скарны; 15 – полиметаллические руды; 16 – джаспероиды; 17 – кварц-полевошпатовые метасоматиты; 18 – пропилиты; 19 – золотоносные кварцевые жилы; 20 – березиты; 21 – титаномагнетитовые руды; 22 – россыпи золота; 23 – отпечатки флоры.

3) в пределах узла выделены пять потенциальных рудных полей: Малочуканско, Большечуканско, Чучукаско, Джуркан-Чагоянско и Анго-Букольско, представляющих собой секторные и сегментные блоки интрузивно-купольного поднятия. Они ограничены кольцевыми и радиальными разломами. В зависимости от степени эродированности в пределах полей развиты рудопроявления золота различных формационных типов и россыпи золота;

4) рудопроявления и точки минерализации золота различных золоторудных формаций (березитовая, джаспероидная, скарновая, кварц-полевошпатовых метасоматитов и кварцит-пропилитовая) являются основными источниками питания для современных и более древних россы-

пей. Размещение золоторудной минерализации в рассматриваемом узле обусловлено рядом факторов, важнейшими из которых являются магматический, литологический и структурно-тектонический;

5) разновозрастное золотое и свинцово-цинковое оруденение сформировано в течение трех этапов: раннепалеозойского, средневерхнепалеозойского и мезозойского (раннемелового), золотое оруденение имеет, главным образом, раннемеловой возраст;

6) основные перспективы узла определяются возможным выявлением месторождений карлинского (золото-рутутного) типа в автохтоне надвиговых структур, сложенных карбонатными толщами венд-кембрийского возраста

под экраном терригенных толщ силура. Первоочередными на поиски оруденения этого типа являются Большечуканское и Джуркан-Чагоянские рудные поля.

1. Бакулин Ю.И., Буряк В.А., Пересторонин А.Е. Карлинский тип оруденения (закономерности размещения, генезис, геологические основы прогнозирования и оценки). – Хабаровск: ДВИМС, 2001.

2. Громаковский И.Ю., Степанов В.А. Золотое оруденение в карбонатных толщах Октябрьского района Приамурья // Тихоокеанская геология. – 1999. – Т. 18. – № 1. – С. 84–89.

3. Красный Л.И., Вольский А.С., Пэн Юньбяо и др. Геологическая карта Приамурья и сопредельных территорий. Масштаб 1:2500000. Объяснительная записка. – СПб.: Благовещенск; Харбин, 1999.

4. Мельников А.В. Закономерности размещения оруденения и золотоносных россыпей в Чагоянском рудном узле // Амурская наука

на пороге III тысячелетия. – Благовещенск: АмурКНИИ, 2000. – С. 13–15.

5. Мельников А.В. Этапы формирования оруденения в Чагоянском рудном узле (Верхнего Приамурья) // Генезис месторождений золота и методы добычи благородных металлов. – Благовещенск: АмурКНИИ; АО МО, 2002. – С. 67–68.

6. Мельников В.Д. Золоторудные гидротермальные формации. – Владивосток: ДВНЦ АН СССР, 1984.

7. Рундквист Д.В. О принципах выделения и прогнозирования рудных формаций // Основы научного прогнозирования месторождений рудных и нерудных полезных ископаемых. – Л.: ВСЕГЕИ, 1971. – С. 27–35.

8. Степанов В.А. Геология золота, серебра и ртути. – Ч. 2: Золото и ртуть Приамурской провинции. – Владивосток: Дальнаука, 2000.

9. Эриш Л.В. К перспективам выявления на Дальнем Востоке месторождений карлинского типа // Тихоокеанская геология. – 1998. – Т. 17, № 4. – С. 72–79.

Т.А. Родина, С.А. Лескова

**ПОЛИЯДЕРНЫЙ  
О,О'-ДИ-ЦИКЛО-ГЕКСИЛДИОФОСФАТ  
ТАЛЛИЯ(I): СИНТЕЗ, СТРОЕНИЕ  
И MAS ЯМР ( $^{13}\text{C}$ ,  $^{31}\text{P}$ ) СПЕКТРОСКОПИЯ**

*Crystalline polynuclear thallium(I) O,O'-di-cyclohexildithiophosphate was synthesized. According to the X-ray diffraction data the complex includes two types of the nonequivalent binuclear molecules [Tl<sub>2</sub>S<sub>2</sub>P(O-cyclo-C<sub>6</sub>H<sub>11</sub>)<sub>2</sub>]. All Dtpf ligands show a terminal-μ<sub>3</sub>-bridging mode of coordination.*

В координационных соединениях с дитиореагентами таллий(I) характеризуется высокими координационными числами КЧ = 5–7, поэтому координационное насыщение комплексообразователя достигается за счет формирования полиядерных структур с различными типами организаций. Основной структурной единицей в N,N-диалкилдитиокарбаматных комплексах являются биядерные молекулы типа [Tl<sub>2</sub>(S<sub>2</sub>CNR<sub>2</sub>)<sub>2</sub>], которые объединяются в полимерные цепи, а цепи, в свою очередь, формируют слои. Поэтому интерес представляют комплексы таллия(I) с другой группой S,S'-бидентатных дитиореагентов – с O,O'-диалкилдитиофосфат-ионами (Dtpf).

В настоящей работе получены и охарактеризованы по данным MAS ЯМР ( $^{13}\text{C}$ ,  $^{31}\text{P}$ ) спектроскопии две кристаллические модификации полиядерного O,O'-ди-цикло-гексилдитиофосфатного комплекса таллия(I), [Tl<sub>2</sub>{S<sub>2</sub>P(O-cyclo-C<sub>6</sub>H<sub>11</sub>)<sub>2</sub>}<sub>n</sub>] (Ia, Ib). Полиядерная структура I<sup>b</sup> (типа цепочек полимеров), включающая терминально-μ<sub>3</sub>-мостиково-ые Dtpf группы, разрешена по данным РСА.

O,O'-ди-цикло-гексилдитиофосфат таллия(I), [Tl<sub>2</sub>{S<sub>2</sub>P(O-cyclo-C<sub>6</sub>H<sub>11</sub>)<sub>2</sub>}<sub>n</sub>] (Ia) был получен взаимодействием водных растворов 0.40 г (0.0015 моль) TlNO<sub>3</sub> и 0.53 г (0.0016 моль) K{S<sub>2</sub>P(O-cyclo-C<sub>6</sub>H<sub>11</sub>)<sub>2</sub>}. Объемный белый осадок отделяли фильтрованием, промывали небольшим количеством воды и высушивали на воздухе. Выход составил 89 %. Игольчатые кристаллы катена-поли-[( $\mu_3$ -(O,O'-ди-цикло-гексилдитиофосфато-S,S,S')таллия(I)], [Tl<sub>2</sub>{S<sub>2</sub>P(O-cyclo-C<sub>6</sub>H<sub>11</sub>)<sub>2</sub>}<sub>n</sub>] (Ib) были получены перекристаллизацией Ia из ацетона.

Соединения Ia, Ib и исходный ди-цикло-гексилдитиофосфат калия охарактеризованы по данным MAS ЯМР  $^{13}\text{C}$  спектроскопии:

[Tl<sub>2</sub>{S<sub>2</sub>P(O-cyclo-C<sub>6</sub>H<sub>11</sub>)<sub>2</sub>}<sub>n</sub>] (Ia): (1:2:2:1) – 80.3, 72.9 (1:1, – OCH=), 35.2, 33.7, 31.5 (o-CH<sub>2</sub>–), 26.6, 25.9 (m-CH<sub>2</sub>–), 22.1 (p-CH<sub>2</sub>–).

[Tl<sub>2</sub>{S<sub>2</sub>P(O-cyclo-C<sub>6</sub>H<sub>11</sub>)<sub>2</sub>}<sub>n</sub>] (Ib): (1:2:3) – 77.0, 76.5 (1:1, – OCH=), 36.4 (o-CH<sub>2</sub>–), 26.6 (m-CH<sub>2</sub>–), 27.6 (p-CH<sub>2</sub>–).

K{S<sub>2</sub>P(O-cyclo-C<sub>6</sub>H<sub>11</sub>)<sub>2</sub>} (1:2:3) – 79.9, 78.8, 78.1, 77.1 (1:1:1:1, – OCH=), 35.7, 35.2, 34.7, 33.9 (o-CH<sub>2</sub>–), 26.2 (m-, p-CH<sub>2</sub>–).

Спектры MAS ЯМР  $^{13}\text{C}$ ,  $^{31}\text{P}$  регистрировали на импульсном спектрометре «CMX-360» с рабочими частотами

90.52 и 145.73 МГц соответственно, со сверхпроводящим магнитом -  $B_0 = 8.46$  Тл и Фурье-преобразованием. При записи спектров использовали эффект кросс-поляризации с протонами, а для подавления диполь-дипольных взаимодействий  $^{13}\text{C}-^1\text{H}$  и  $^{31}\text{P}-^1\text{H}$  - эффект декаплинга протонов при использовании радиочастотного поля на резонансной частоте протонов. Образцы комплексов массой ~350 мг помещали в ротор из ZrO<sub>2</sub> диаметром 7.5 мм. При измерениях ЯМР  $^{13}\text{C}/^{31}\text{P}$  вращение образцов под магическим углом проводили на частотах 2350–3150/2300–4500(1) Гц; число накоплений 2900–7900/128–1400. Изотропные хим.сдвиги ядер  $^{13}\text{C}$  даны в миллионных долях (м.д.) относительно одной из компонент внешнего стандарта – кристаллического адамантана [1], а ядер  $^{31}\text{P}$  – относительно 85% водного раствора H<sub>3</sub>PO<sub>4</sub> [2]. Однородность магнитного поля контролировали по ширине референсной линии кристаллического адамантана: 2.6 Гц. Значения анизотропии хим. сдвига  $^{31}\text{P}$  ( $\delta_{iso} = \delta_{zz} - \delta_{xy}$ ) и параметра асимметрии тензора хим. сдвига  $^{31}\text{P}$  ( $\eta = (\delta_{yy} - \delta_{xx}) / (\delta_{zz} - \delta_{iso})$ ) были получены из диаграмм  $\chi^2$ -статистики [3]. Построение последних основывалось на количественном анализе соотношений интегральных интенсивностей «сайдбэндов» (посторонних от вращения) [4] в полных MAS ЯМР  $^{31}\text{P}$  спектрах, записанных при двух частотах вращения образцов. Для расчетов использовалась программа «Mathematica» [5].

Рентгеновский эксперимент выполнен с монокристаллом I<sup>b</sup> призматической формы на дифрактометре «BRUKER SMART 1000 CCD» (MoKα-излучение, графитовый монохроматор) при комнатной температуре. Сбор данных проведен по стандартной методике в области полусферы, расстояние кристалл-детектор – 45 мм. Поглощение рентгеновских лучей в образце учтено по индексам граней монокристалла. Структура определена прямым методом и уточнена методом наименьших квадратов в анизотропном приближении неводородных атомов. Положения атомов водорода рассчитаны геометрически и включены в уточнение в модели «наездника».

В спектрах MAS ЯМР  $^{13}\text{C}$  Ia и Ib присутствуют резонансные сигналы Dtpf лигандов: от менее экранированных положений углерода в составе -OCH= групп и более экранированных в o-CH<sub>2</sub>–, m-CH<sub>2</sub>– и p-CH<sub>2</sub>– группах (рис. 1). Однако в спектральном отношении образцы Ia и Ib неидентичны.

Спектры MAS ЯМР  $^{31}\text{P}$  комплекса, осажденного из водной фазы Ia (рис. 2а, а') и перекристаллизованного из ацетона Ib (рис. 2б, б'), несмотря на значительное подобие, различаются значениями хим. сдвигов изотропных резонансных сигналов  $^{31}\text{P}$  (табл. 1), что подтверждает способность ди-цикло-гексилдитиофосфата таллия(I) к существованию в двух модификациях. По сравнению с исходным ди-цикло-гексилдитиофосфатом калия [6] для Ia и Ib наблюдается уменьшение значений  $\delta(^{31}\text{P})$  и возрастание степени электронного экранирования ядер  $^{31}\text{P}$ , что является следствием ковалентного связывания Dtpf групп. При этом меньшее значение изотропного хим.сдвига  $^{31}\text{P}$  для Ia